

С 846.6a

7/vii-69

X-303

СООБЩЕНИЯ
ОБЪЕДИНЕННОГО
ИНСТИТУТА
ЯДЕРНЫХ
ИССЛЕДОВАНИЙ

Дубна

1 - 4476



М.С.Хвастунов

ЛАБОРАТОРИЯ ВЫСОКИХ ЭНЕРГИЙ

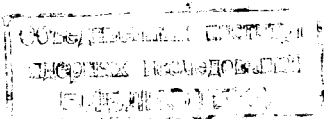
ОБ ИДЕНТИФИКАЦИИ РАСПАДА $X^0 \rightarrow \eta + \gamma$
 $\hookrightarrow \gamma + \gamma$

1969

1 - 4476

М.С.Хвастунов

ОБ ИДЕНТИФИКАЦИИ РАСПАДА $X^0 \rightarrow \eta + \gamma$
 $\hookrightarrow \gamma + \gamma$



В данной работе обсуждаются некоторые особенности кинематики распадов $X^0 \rightarrow \eta + \gamma$, $X^0 \rightarrow \pi^0 + \gamma$ и $X^0 \rightarrow \pi^0 + \pi^0$.

При распадах $X^0 \rightarrow \pi^0 + \gamma$ и $X^0 \rightarrow \pi^0 + \pi^0$ резонансов X с большой массой ($m_{X^0} \gg m_{\pi^0}$) пары фотонов с наименьшими углами разлета с большой вероятностью являются распадными парами от π^0 -мезонов. При этом углы разлета $\theta_{\pi^0 \gamma} = (\vec{P}_{\pi^0}, \vec{P}_{\gamma})$ и $\theta_{\pi^0_1 \pi^0_2} = (\vec{P}_{\pi^0_1}, \vec{P}_{\pi^0_2})$ в подавляющем большинстве случаев не меньше минимальных углов разлета $\theta_{\pi^0 \gamma}^{(min)}$ и $\theta_{\pi^0_1 \pi^0_2}^{(min)}$. Благодаря этому, обеспечивается успех методов, использующих только угловые измерения распадных фотонов.

Существенно иную ситуацию имеем при распадах $X \rightarrow \eta + \gamma$. Минимальный угол разлета $\theta_{\eta \gamma}^{(min)} = (\vec{P}_{\eta}, \vec{P}_{\gamma}) = 0^{\circ}$ (по крайней мере для $m_{X^0} \leq 2m_{\eta}$), и по углам разлета фотонов невозможно выделить распадную пару от η -мезона. В этом случае для надежной идентификации моды распада необходимы измерения энергий и углов вылета распадных фотонов. Комбинируя попарно все фотоны, можно вычислить три значения эффективной массы. Однако такая процедура нежелательна, так как она приводит к увеличению статистического фона.

Если использовать известную функцию угловой корреляции фотонов при распаде $X' \rightarrow \gamma + \gamma$ бесспинового резонанса X' /1/

$$w(\theta, \beta) = \frac{1 - \beta^2}{2\beta} \frac{\cos(\theta/2)}{\sin^2(\theta/2)} \cdot \frac{1}{\sqrt{\beta^2 - \cos^2(\theta/2)}}, \quad (\beta \geq \cos(\theta/2)), \quad (1)$$

то в большинстве случаев распада $X^0 \rightarrow X' + \gamma$ или $X^0 \rightarrow X' + X'$ можно однозначно выделить распадную пару фотонов от X' -мезона. В выражении (1) β - скорость резонанса X' , а θ - угол разлета распадных фотонов от X' . Путем замены угла θ параметром $\xi = \sin(\theta/2)/\sin(\theta_m/2)$ можно функцию $w(\theta, \beta)$ преобразовать к виду /2/ x)

$$w(\xi, \gamma) = \frac{1}{\xi^2} \sqrt{\frac{1 - \xi^2/\gamma^2}{\xi^2 - 1}}, \quad (1')$$

где $\gamma = 1/\sqrt{1 - \beta^2}$ и $\sin(\theta_m/2) = 1/\gamma$. Вероятность того, что при распаде $X' \rightarrow \gamma + \gamma$

1) параметр ξ не превосходит некоторого значения ξ_1 , вычисляется по формуле /2/

$$W(\xi_1, \gamma) = \int_1^{\xi_1} w(\xi, \gamma) d\xi / \int_1^{\gamma} w(\xi, \gamma) d\xi = \sqrt{\frac{1 - 1/\xi_1^2}{1 - 1/\gamma^2}}; \quad (2)$$

2) параметр $k_1 = E_{\gamma_1}/(E_{x'}/2)$ не меньше некоторого значения $k_1 = 1 - \sqrt{1 - 1/\xi_1^2}$, а параметр $k_2 = E_{\gamma_2}/(E_{x'}/2)$ не больше $2 - k_1 = 1 + \sqrt{1 - 1/\xi_1^2}$, вычисляется по формуле /2/

$$W_1(k_1, \gamma) = (1 - k_1) / \sqrt{1 - 1/\gamma^2}; \quad (3)$$

3) параметр $a = \sin \theta_2 / \sin \theta_1$ ($\theta_1 = (\vec{p}_{\gamma_1}^{\wedge}, \vec{p}_{x'}^{\wedge}), \theta_2 = (\vec{p}_{\gamma_2}^{\wedge}, \vec{p}_{x'}^{\wedge})$) не меньше выбранного значения a_1 , вычисляется по формуле /2/

$$W_2(a_1, \gamma) = \left(\frac{1 - a_1}{1 + a_1} \right) / \sqrt{1 - 1/\gamma^2}. \quad (4)$$

x) Функция $w(\xi, \gamma)$ отличается от функции $w(\theta, \beta)$ нормировочным множителем $\frac{1}{2} \cdot \frac{\gamma^2}{\sqrt{\gamma^2 - 1}}$.

Наиболее просто картина распада выглядит в системе покоя резонанса. Поэтому количественное рассмотрение будем проводить в основном в этой системе отсчета.

Распад $X^0 \rightarrow X' + \gamma$ характеризуется тремя углами и тремя

энергиями: $\theta_{\gamma_1 \gamma_2} = (\hat{p}_{\gamma_1}, \hat{p}_{\gamma_2})$, $\theta_{\gamma \gamma_1} = (\hat{p}_\gamma, \hat{p}_{\gamma_1})$, $\theta_{\gamma \gamma_2} = (\hat{p}_\gamma, \hat{p}_{\gamma_2})$, E_{γ_1} , E_{γ_2} и E_γ . Пользуясь функциями $W(\xi_1, \gamma)$, $W_1(k_1, \gamma)$ и $W_2(\alpha_1, \gamma)$, можно

вычислить вероятности W того, что при распаде величины $\theta_{\gamma_1 \gamma_2}$, $\theta_{\gamma \gamma_1}$, $\theta_{\gamma \gamma_2}$, E_{γ_1} , E_{γ_2} и E_γ находятся в определенных границах. На рис. 1 и 2 в качестве примера приведены распределения вероятностей W для этих величин при распадах $\omega \rightarrow \eta + \gamma$ и $\phi \rightarrow \eta + \gamma$.

Для сравнения на этих же рисунках приведены распределения вероятностей W для $\omega \rightarrow \pi^0 + \gamma$ и $\phi \rightarrow \pi^0 + \gamma$. Как видно из рисунков, всегда при распаде ω (ϕ) присутствует фотон с энергией, большей максимальной энергии фотона при распаде ω (ϕ).

Поэтому, если имеется смесь распадов: $(\omega \rightarrow \pi^0 + \gamma) + (\omega \rightarrow \eta + \gamma)$, то разделить эти моды распада не сложно. При распаде ω (ϕ) всегда энергия E_γ "свободного" фотона больше энергий E_{γ_1} и E_{γ_2} распадных фотонов от π^0 -мезона. По этому признаку легко выделить распадную пару фотонов от π^0 -мезонов. В случае распада $X^0 \rightarrow \eta + \gamma$ выделение пары фотонов от η -мезона не всегда однозначно.

Рассмотрим сначала распад $\omega \rightarrow \eta + \gamma$. Как видно из рис. 1, в большинстве случаев распада справедливы неравенства

$$\theta_{\max} \geq \theta_{\gamma_1 \gamma_2} > \theta_{\gamma \gamma_2} \geq \theta_{\gamma \gamma_1} \geq \theta_{\min}$$

$$E_{\min} = E_\gamma < E_{\gamma_1} < E_{\gamma_2} < E_{\max}$$

$$\theta_{\gamma_1 \gamma_2} - \theta_{\gamma \gamma_2} \geq \Delta \theta$$

(5)

Из неравенств (5) видно, что пары фотонов с наибольшим углом разлета и наибольшими энергиями происходят от распада η^0 -мезона. При $\theta_{\min} = 61^\circ$, $\theta_{\max} = 151^\circ$, $E_{\min} = 200$ Мэв, $E_{\max} = 363$ Мэв и $\Delta\theta = 3,5^\circ$ неравенствам (5) удовлетворяет $\approx 70\%$ распадов $\omega^0 \rightarrow \eta^0 + \gamma$. Для оставшихся $\approx 30\%$ распадов можно написать неравенства

$$\theta_{\max} < \theta_{\gamma_1 \gamma_2} \cong \theta_{\gamma \gamma_2} >> \theta_{\gamma \gamma_1} < \theta_{\min} \quad (5')$$

$$E_{\min} \cong E_{\gamma} \cong E_{\gamma_1} << E_{\gamma_2} > E_{\max} \quad .$$

Для таких событий в качестве распадной пары фотонов от η^0 -мезона можно взять фотон с наибольшей энергией и один из фотонов с меньшей энергией. Каждое событие разбивается на две комбинации, которые берутся с весом 1/2. Эти комбинации мало отличаются друг от друга.

Подобная картина наблюдается и для распадов $\phi \rightarrow \eta + \gamma$

(см. рис. 2).

Всю совокупность распадов разобьем на три группы.

К первой группе отнесем распады, удовлетворяющие условиям

$$\theta_{\min}^{(1)} \leq \theta_{\gamma_1 \gamma_2} < \theta_{\gamma \gamma_1} < \theta_{\gamma \gamma_2} < \theta_{\max}^{(1)} \quad .$$

$$E_{\min}^{(1)} < E_{\gamma_1} < E_{\gamma_2} < E_{\gamma} = E_{\max}^{(1)} \quad , \quad (6)$$

$$\theta_{\gamma \gamma_1} - \theta_{\gamma_1 \gamma_2} \geq \Delta\theta \quad .$$

В этой группе пары фотонов с наименьшим углом разлета и наименьшими энергиями - пары от распада η -мезона. При $\theta_{\min}^{(1)} = 113^\circ$, $\theta_{\max}^{(1)} = 130^\circ$, $E_{\min}^{(1)} = 308$ Мэв, $E_{\max}^{(1)} = 350$ Мэв и $\Delta\theta = 3,5^\circ$ в первую группу входит $\approx 12\%$ событий.

Ко второй группе отнесем события, удовлетворяющие условиям:

$$\theta_{\min}^{(2)} \leq \theta_{\gamma_1 \gamma_2} \cong \theta_{\gamma \gamma_1} < \theta_{\gamma \gamma_2} < \theta_{\max}^{(2)} \quad ,$$

$$E_{\max}^{(2)} > E_{\gamma} \cong E_{\gamma_2} > E_{\gamma_1} > E_{\min}^{(2)} \quad , \quad (6')$$

$$\theta_{\min}^{(1)} \cong \theta_{\gamma_1 \gamma_2} \cong \theta_{\gamma \gamma_1} < \theta_{\gamma \gamma_2} > \theta_{\max}^{(1)} .$$

$$E_{\max}^{(1)} \cong E_{\gamma} \cong E_{\gamma_2} > E_{\gamma_1} < E_{\min}^{(1)} .$$

При $\theta_{\min}^{(2)} = 111^\circ$, $\theta_{\max}^{(2)} = 135^\circ$, $E_{\min}^{(2)} = 288$ Мэв и $E_{\max}^{(2)} = 368$ Мэв во вторую группу входит $\approx 10\%$ распадов. Для событий из этой группы в качестве распадной пары фотонов от η -мезона можно взять фотон с наименьшей энергией и один из фотонов с большей энергией; событие разбивается на две комбинации, каждая из которых берется с весом $1/2$. Эти комбинации мало отличаются друг от друга.

В третью группу входят распады, удовлетворяющие условиям

$$\theta_{\max}^{(2)} < \theta_{\gamma \gamma_2} > \theta_{\gamma_1 \gamma_2} > \theta_{\gamma \gamma_1} < \theta_{\min}^{(2)} .$$

$$E_{\min}^{(2)} > E_{\gamma_1} < E_{\gamma} < E_{\gamma_2} > E_{\max}^{(2)} ,$$

(6'')

$$\theta_{\gamma_1 \gamma_2} - \theta_{\gamma \gamma_1} \geq \Delta\theta .$$

К этой группе при $\Delta\theta = 3,5^\circ$ относится $\approx 78\%$ распадов. Для таких событий пара фотонов с энергиями наибольшей и наименьшей и углом разлета, средним из трех углов, является распадной парой от η -мезона.

Таким образом, при распаде $\omega(\phi) \rightarrow \eta \begin{matrix} \swarrow +\gamma \\ \searrow +\gamma \end{matrix}$ в $\approx 70\%$ ($\approx 88\%$) случаев можно однозначно указать распадную пару фотонов от η -мезона, и в $\approx 30\%$ ($\approx 12\%$) случаев однозначно сделать этого нельзя. Доказательством того, что зарегистрированные в некотором эксперименте 3γ -события с эффективной массой, близкой к массе m_X резонанса X , являются распадами на $\pi^0(\eta) + \gamma$ этого резонанса, могут служить:

1) Распределение по энергии "свободного" фотона, не входящего в пару распадных фотонов от предполагаемого $\pi^0(\eta)$ -мезона. В случае двухчастичного распада $X \rightarrow \pi^0(\eta) + \gamma$ это распределение в системе центра масс 3γ -системы должно быть сконцентрировано около определенного значения энергии E_γ , равного

$$E_{\gamma} = \frac{1}{2m_x} (m_x^2 - m_{\pi^0(\eta)}^2), \quad (7)$$

с шириной, равной полуширине резонанса X .

2) Распределение пар распадных фотонов от предполагаемого $\pi^0(\eta)$ -мезона на двумерном графике

$$E_{\gamma_1}/E_{\gamma_2} = (1 - \sqrt{1 - 1/\xi^2}) / (1 + \sqrt{1 - 1/\xi^2}), \quad (8)$$

где $\xi = \sin(\theta_{\gamma_1 \gamma_2} / 2) / \sin(\theta_m / 2)$, $\sin(\theta_m / 2) = m_{\pi^0(\eta)} / E_{\pi^0(\eta)}$,

$$E_{\pi^0(\eta)} = \sqrt{p^2 + m_{\pi^0(\eta)}^2}, \quad p = E_{\gamma}$$

При двухчастичном распаде $X \rightarrow \pi^0(\eta) + \gamma$ энергия $E_{\pi^0(\eta)}$, $\pi^0(\eta)$ -мезона в системе покоя резонанса фиксирована с точностью до полуширины резонанса X . Поэтому пары распадных фотонов от $\pi^0(\eta)$ -мезонов должны хорошо ложиться на график функции (8) для распада $\pi^0(\eta) \rightarrow \gamma_1 + \gamma_2$ с энергией $\pi^0(\eta)$ -мезона $E_{\pi^0(\eta)}$. Если энергии E_{γ_1} , E_{γ_2} и угол разлета $\theta_{\gamma_1 \gamma_2}$ для какой-либо пары фотонов хорошо согласуются с равенством (8), то эффективная масса такой пары обязательно совпадает с массой $\pi^0(\eta)$ -мезона. Обратное справедливо не всегда: не каждая пара фотонов с эффективной массой, близкой к массе $\pi^0(\eta)$ -мезона, хорошо ложится на график функции (8) для $\pi^0(\eta)$ -мезона.

3) Распределение пар распадных фотонов от предполагаемого $\pi^0(\eta)$ -мезона по параметру $\xi = \sin(\theta_{\gamma_1 \gamma_2} / 2) / \sin(\theta_m / 2)$. Для $\pi^0(\eta)$ -мезонов это распределение описывается функцией $w(\xi, \gamma)$ угловой корреляции распадных фотонов при $\gamma = E_{\pi^0(\eta)} / m_{\pi^0(\eta)}$.

4) В системе центра масс двухчастичной реакции, например



импульс резонанса X фиксирован:

$$p_x = \frac{1}{2E_0} \{ [E_0^2 - (m_x + m_n)^2] [E_0^2 - (m_x - m_n)^2] \}^{1/2}, \quad (10)$$

где E_0 — полная энергия в системе центра масс реакции (9). Дополнительным (к обсуждавшимся в предыдущих пунктах) фактом, указывающим на моду распада $X^0 \rightarrow \pi^0(\eta) + \gamma$, может служить распределение событий по двумерному графику $E_1/E_2 = f(\theta_{\pi^0(\eta)\gamma})$, где E_1 и E_2 — меньшая и большая энергии из двух энергий $E_{\pi^0(\eta)}$ и E_γ в системе центра масс реакции (9) и $\theta_{\pi^0(\eta)\gamma} = (\vec{p}_{\pi^0(\eta)}, \vec{p}_\gamma)$ в этой же системе. Значения функции $f(\theta_{\pi^0(\eta)\gamma})$ можно вычислять численным способом.

Случаи двухчастичного распада $X^0 \rightarrow \pi^0(\eta) + \gamma$ резонансов X , рождающихся в двухчастичной реакции (9), должны хорошо ложиться на график функции $E_1/E_2 = f(\theta_{\pi^0(\eta)\gamma})$ для энергии резонанса X , равной $E_x = \sqrt{p_x^2 + m_x^2}$, где p_x определяется выражением (10). Если для какого-либо 3γ -события энергии $E_{\pi^0(\eta)}$ и E_γ и угол $\theta_{\pi^0(\eta)\gamma}$ хорошо удовлетворяют уравнению $E_1/E_2 = f(\theta_{\pi^0(\eta)\gamma})$ для резонанса

X , то эффективная масса $\pi^0(\eta)\gamma$ -системы обязательно совпадает с массой резонанса X . Обратное не всегда справедливо: не каждое событие с эффективной массой $\pi^0(\eta)\gamma$ -системы, близкой к массе резонанса X , хорошо ложится на график функции $E_1/E_2 = f(\theta_{\pi^0(\eta)\gamma})$.

Для распада $X^0 \rightarrow \pi^0 \rightarrow \gamma\gamma + \pi^0 \rightarrow \gamma\gamma$ можно провести рассуждения, аналогичные предыдущим. Этот распад будем описывать двумя углами и двумя энергиями: $\theta_{\gamma\gamma}^{(\pi)}$ — наибольшим углом между распадными фотонами от π^0 -мезона и $\theta_{\gamma\gamma}$ — наименьшим углом между фотонами от разных π^0 -мезонов, E_1 и E_2 — наименьшей и наибольшей энергиями распадных фотонов. В качестве примера на рис. 3 приведены вероятности того, что при распаде $f^0 \rightarrow \pi^0 + \pi^0$ угол $\theta_{\gamma\gamma}^{(\pi)}(\theta_{\gamma\gamma})$ не больше (не меньше) некоторого значения и энергия $E_1(E_2)$ не меньше (не больше) некоторого выбранного значения. Вероятности вычислялись с использованием функций $W(\xi_1, \gamma)$, $W_1(k_1, \gamma)$ и $W_2(a_1, \gamma)$. Для большинства случаев можно записать неравенства

$$\theta_{\gamma\gamma} - \theta_{\gamma\gamma}^{(\pi^0)} \geq \Delta\theta.$$

$$E_1 \geq E_{\min}, \quad (11)$$

$$E_2 \leq E_{\max}.$$

Для таких событий пара фотонов с наименьшим углом разлета происходит от одного π^0 -мезона, а оставшиеся два фотона - от другого π^0 -мезона. При $\Delta\theta = 5^\circ$, $E_1 = 30$ Мэв и $E_2 = 600$ Мэв в эту группу входит = 85% событий. Оставшиеся события можно разбить на комбинации - три комбинации для каждого события. Предпочтительней та комбинация, которая удовлетворяет условиям

$$|E_{\gamma_1} + E_{\gamma_2} - m_{4\gamma/2}| \leq \Delta E_1,$$

$$|E_{\gamma_3} + E_{\gamma_4} - m_{4\gamma/2}| \leq \Delta E_2,$$

$$|E_{\gamma_1}/E_{\gamma_2} - \frac{(1 - \sqrt{1 - 1/\xi_{12}^2})}{(1 + \sqrt{1 - 1/\xi_{12}^2})}| \leq \Delta_1, (E_{\gamma_1} \leq E_{\gamma_2}), \quad (12)$$

$$|E_{\gamma_3}/E_{\gamma_4} - \frac{(1 - \sqrt{1 - 1/\xi_{34}^2})}{(1 + \sqrt{1 - 1/\xi_{34}^2})}| \leq \Delta_2, (E_{\gamma_3} \leq E_{\gamma_4}),$$

где E_{γ_1} , E_{γ_2} и E_{γ_3} , E_{γ_4} - энергии распадных фотонов γ_1 , γ_2 и γ_3 , γ_4 от предполагаемых π^0 -мезонов, $m_{4\gamma}$ - эффективная масса 4γ -системы,

$$\xi_{12} = \sin(\theta_{\gamma_1\gamma_2}/2) / \sin(\theta_m/2), \quad \xi_{34} = \sin(\theta_{\gamma_3\gamma_4}/2) / \sin(\theta_m/2),$$

$$\theta_{\gamma_1\gamma_2} = (\vec{p}_{\gamma_1}^{\wedge}, \vec{p}_{\gamma_2}^{\wedge}), \quad \theta_{\gamma_3\gamma_4} = (\vec{p}_{\gamma_3}^{\wedge}, \vec{p}_{\gamma_4}^{\wedge}) \text{ и } \sin(\theta_m/2) = m_{\pi^0} / (m_{4\gamma}/2).$$

Величины ΔE_1 , ΔE_2 , Δ_1 и Δ_2 определяются ошибками измерения энергий и углов вылета фотонов.

Рассуждения о том, какие распределения могут быть привлечены для доказательства моды распада $X^0 \rightarrow \pi^0 + \pi^0$, аналогичны соответствующим рассуждениям относительно моды распада $X^0 \rightarrow \pi^0(\eta) + \gamma$.

Краткие выводы

Использование функции угловой корреляции фотонов от распада бесспинового резонанса $X' \rightarrow \gamma\gamma$ позволяет для большинства распадов резонансов $X \rightarrow X' + \gamma$ и $X \rightarrow X' + X'$ однозначно указать распадную пару фотонов от X' .

Автор выражает благодарность Г.И. Копылову за полезные обсуждения.

Л и т е р а т у р а

1. Г. Челлен. Физика элементарных частиц, "Наука", 1966.
2. М.С. Хвастунов. Сообщение ОИЯИ, 1-4475, Дубна, 1969.

Рукопись поступила в издательский отдел
7 мая 1969 года.

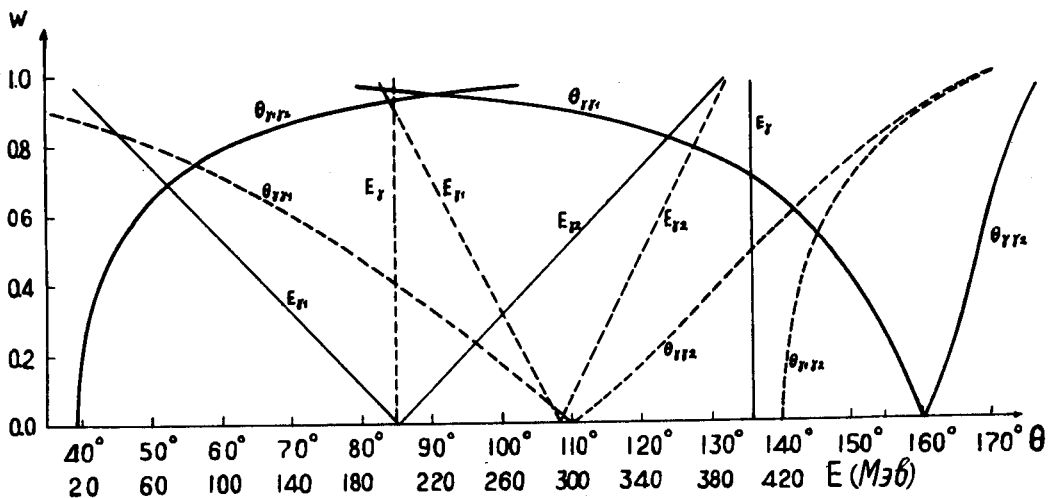


Рис.1. Распределение вероятностей для величин $\theta_{Y_1 Y_2}$, $\theta_{Y Y_1}$, $\theta_{Y Y_2}$, E_{Y_1} , E_{Y_2} и E_Y при распаде на $\pi^0 \rightarrow Y_1 + Y_2 + Y$ (сплошные кривые) и $\eta \rightarrow Y_1 + Y_2 + Y$ (пунктирные кривые) покоящегося ω -мезона.

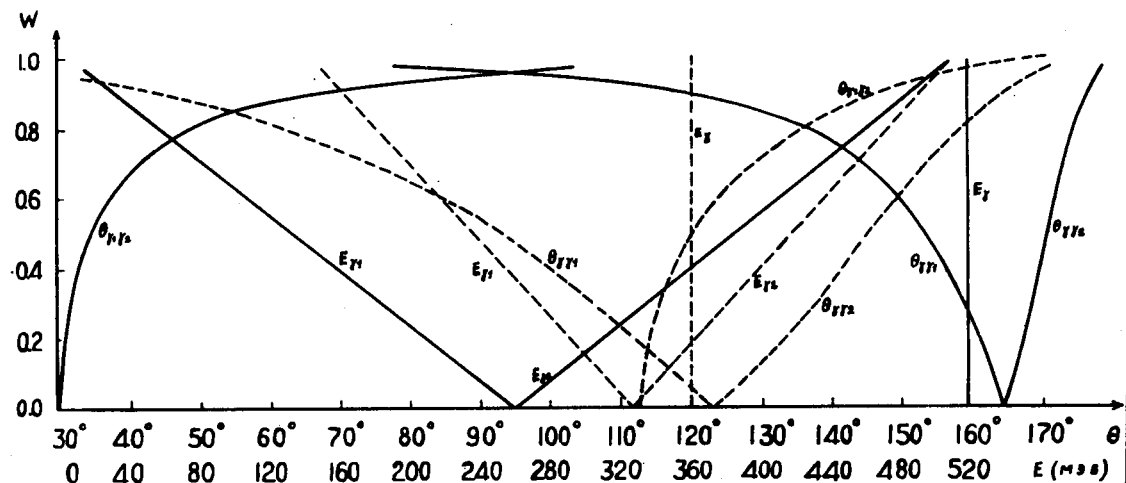


Рис.2. Распределение вероятностей для величин $\theta_{\gamma_1 \gamma_2}$, $\theta_{\gamma \gamma_1}$, $\theta_{\gamma \gamma_2}$, E_{γ_1} , E_{γ_2} и E_{γ} при распаде на $\pi^0 \rightarrow \gamma_1 + \gamma_2 + \gamma$ (сплошные кривые) и $\eta \rightarrow \gamma_1 + \gamma_2 + \gamma$ (пунктирные кривые) покоящегося ϕ -мезона.

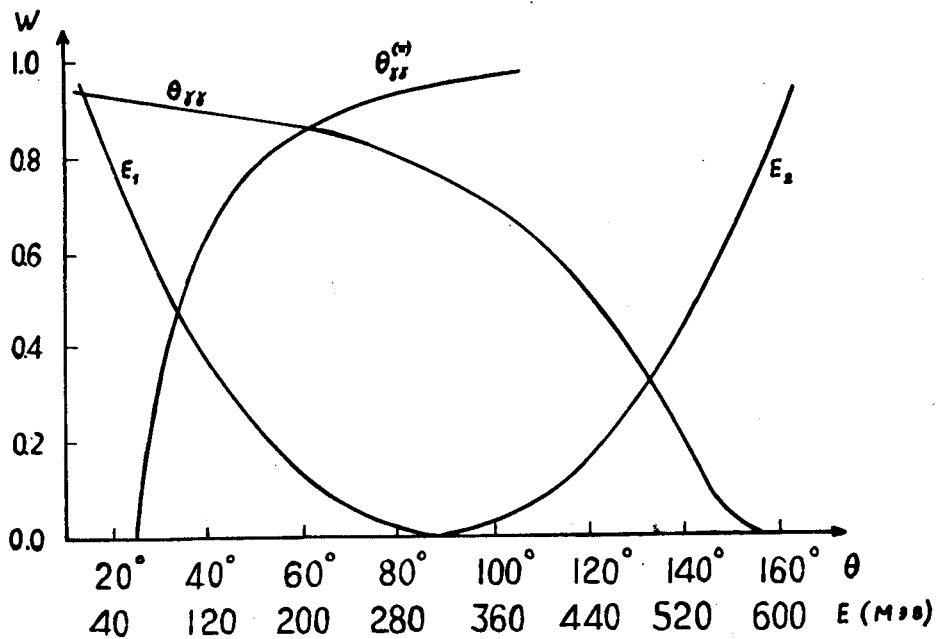


Рис.3. Распределение вероятностей для величин $\theta_{\gamma\gamma}^{(\pi)}$, $\theta_{\gamma\gamma}$, E_1 и E_2 при распаде на $2\pi^0$ покоящегося f^0 -мезона.